

Conservez seulement de quoi écrire et une calculatrice : pas de téléphone en particulier !  
Si vous ne comprenez pas une notation, une question, ou si vous pensez avoir découvert une erreur d'énoncé, signalez-le immédiatement.

### Problème 1 : Seveveves

Dans son roman « Seveveves » [1], Neal Stephenson considère les conséquences d'une explosion inexplicable de la Lune. On étudie dans ce problème quelques uns des phénomènes qui y sont décrits. L'étude sera conduite dans le référentiel géocentrique, considéré galiléen pour la durée des phénomènes étudiés. On note respectivement  $m_T$  et  $m_L$  les masses de la Terre et de la Lune, modélisées comme des objets à symétrie sphérique, de rayons respectifs notés  $R_T$  et  $R_L$ .

**Conventions :** Dans tout le problème le symbole  $r$  décrit une distance orbitale (rayon d'une orbite circulaire, périastre...) et  $R$  une distance physique (rayon d'un astre).

**Données :** masse de la Terre  $m_T = 6,0 \cdot 10^{24}$  kg, masse de la Lune  $7,3 \cdot 10^{22}$  kg  $\approx m_T/81$ . Rayon physique de la terre  $R_T = 6,4 \cdot 10^3$  km, rayon physique de la Lune  $R_L = 1,74 \cdot 10^3$  km  $\approx R_T/3,7$ , rayon de l'orbite lunaire  $r_L = 3,85 \cdot 10^5$  km  $\approx 60R_T$ . Constante universelle de la gravitation  $\mathcal{G} = 6,67234(14) \cdot 10^{-11}$  SI.

## I Généralités et paramètres orbitaux

On établit dans cette partie plusieurs résultats utiles dans le reste du problème. On considère un objet à symétrie sphérique de masse  $m$  et de position  $M$ , soumis à l'attraction gravitationnelle de la Terre de masse  $m_T$ , centrée en  $O$ .

On s'efforcera de rédiger rigoureusement mais de manière succincte les résultats classiques qui suivent.

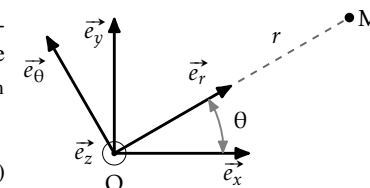
- I.1.** (a) Montrer que le moment cinétique de  $M$  par rapport à  $O$ , noté  $\overrightarrow{\sigma}_{IO}(M)$  est conservé.  
(b) En déduire que le mouvement de  $M$  autour de  $O$  est plan. On note par la suite  $\sigma$  la norme de  $\overrightarrow{\sigma}_{IO}(M)$ .
- I.2.** On considère que  $M$  parcourt une orbite circulaire de rayon  $r$  autour de  $O$ .
- (a) Montrer que le mouvement est uniforme et établir l'expression de sa vitesse en fonction de  $\mathcal{G}$ ,  $m_T$  et  $r$ .  
(b) En déduire les expressions de l'énergie cinétique, de l'énergie potentielle et de l'énergie mécanique en fonction uniquement de  $m$ ,  $m_T$ ,  $\mathcal{G}$  et  $r$ .  
(c) En déduire l'expression du moment cinétique  $\sigma$  en fonction de  $m$ ,  $m_T$ ,  $\mathcal{G}$  et  $r$ .  
(d) Calculer le rayon et la vitesse pour une orbite géostationnaire, de période  $T = 24$  h.  
(e) Calculer la période  $T_{ISS}$  et la vitesse  $v_{ISS}$  pour l'orbite de la station spatiale internationale (abrégée ISS, d'altitude  $h_{ISS} = 3,8 \cdot 10^2$  km).

- (f) Calculer la vitesse  $v_L$  et la période  $T_L$  pour l'orbite de la Lune de rayon  $r_L$ .

**I.3.** On ne se limite plus désormais aux orbites circulaires. On se place en coordonnées polaires  $(r, \theta)$  de centre  $O$ .

- (a) Montrer qu'on peut définir une énergie potentielle effective, notée  $\mathcal{E}_{\text{eff}}(r)$ , qu'on exprimera en fonction de  $\sigma$ ,  $m$ ,  $m_T$ ,  $r$  et  $\mathcal{G}$ , telle que l'énergie mécanique  $\mathcal{E}_m$  vérifie à chaque instant :

$$\mathcal{E}_m = \mathcal{E}_{\text{eff}}(r) + \frac{1}{2} m \dot{r}^2. \quad (1)$$



- (b) Tracer l'allure de  $\mathcal{E}_{\text{eff}}(r)$  et en déduire la nature des mouvements suivant les valeurs de  $\mathcal{E}_m$ .  
(c) Dans le cas d'un état lié, rappeler la nature géométrique de la trajectoire et montrer que la distance  $r$  oscille entre deux valeurs minimale et maximale respectivement notées  $r_p$  et  $r_a$ . Illustrer sur la courbe précédente de  $\mathcal{E}_{\text{eff}}$  comment déterminer les valeurs de  $r_p$  et  $r_a$  pour une valeur de l'énergie mécanique  $\mathcal{E}_m$  donnée.  
(d) Établir l'expression de l'énergie mécanique dans un état lié en fonction de  $\mathcal{G}$ ,  $m_T$ ,  $m$ ,  $r_p$  et  $r_a$ .

## II Ymir

Le roman décrit une mission au cours de laquelle un véhicule, nommé « Ymir<sup>i</sup> », de masse  $m_Y$  quitte l'ISS pour aller chercher une comète (26P/Grigg-Skjellerup<sup>ii</sup>) formée principalement de glace d'eau et située à une distance de l'ordre de quelques au de la Terre à ce moment<sup>iii</sup>.

L'opération prévue comporte plusieurs étapes (voir la figure 1) qui peuvent être décrites dans le référentiel géocentrique comme :

- passage de l'orbite circulaire de rayon  $r_{ISS}$  à une orbite (dite « de transfert ») circulaire de même rayon mais dans un plan incliné d'un angle  $\alpha$  pour rejoindre le plan de l'ecliptique (voir la figure 1a),
- passage de l'orbite de transfert à une trajectoire hyperbolique (voir la figure 1a).

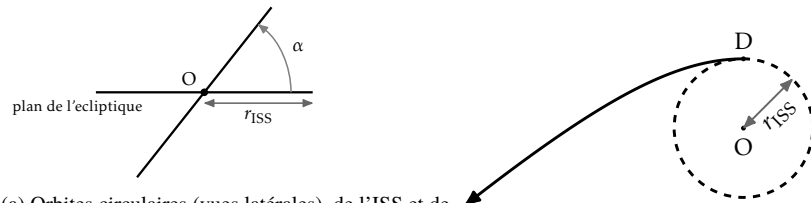
Ces modifications d'orbites sont effectuées en changeant instantanément le vecteur vitesse de Ymir. On note  $\vec{v}_{ISS}$  le vecteur vitesse juste avant l'opération et  $\vec{v}_{ISS} + \Delta\vec{v}$  le vecteur vitesse juste après l'opération, considérée instantanée.

**II.1.** Reproduire les schémas de la figure 1 en y faisant figurer à chaque fois les vecteurs  $\vec{v}_{ISS}$  et  $\Delta\vec{v}$ , ce dernier étant a priori différent pour chacune des modifications. La modification est effectuée :

<sup>i</sup> divinité nordique née d'un monde glacial.

<sup>ii</sup> <https://fr.wikipedia.org/wiki/26P/Grigg-Skjellerup>

<sup>iii</sup> On rappelle qu'une au est pratiquement égale à la distance Terre-Soleil mais cette distance n'intervient pas dans le problème.



(a) Orbites circulaires (vues latérales), de l'ISS et de transfert. Leurs plans forment l'angle  $\alpha_{ISS} = 52^\circ$ . Le (b) Passage de l'orbite de transfert (en pointillés) à la trajectoire hyperbolique rejoignant la comète. La Terre (désignée par O) n'y est évidemment pas représentée à l'échelle.

FIG. 1 : Étapes du transfert de l'orbite circulaire de l'ISS vers la trajectoire hyperbolique rejoignant la comète. La Terre (désignée par O) n'y est évidemment pas représentée à l'échelle.

- au point M pour la modification de la figure 1a,
- au point D pour celle de la figure schéma 1b,

II.2. Le plan de l'orbite de l'ISS forme un angle  $\alpha = 52^\circ$  avec le plan de l'ecliptique. Déterminer l'expression et calculer la valeur de  $\|\Delta v\|$  pour le transfert de la figure 1a.

II.3. Déterminer l'expression et calculer la valeur de  $\|\Delta v\|$  minimale pour le transfert de la figure 1b.

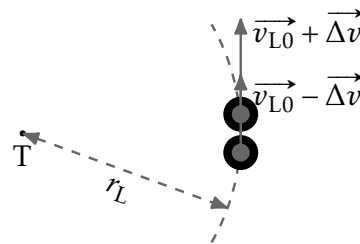
### III Explosion

On considère que la Lune a explosé en plusieurs morceaux à un instant défini comme l'origine des temps, alors qu'elle parcourait son orbite circulaire à la vitesse  $v_L$ . On néglige l'interaction gravitationnelle entre les différents morceaux.

III.1. Dans cette question, l'explosion a produit instantanément deux morceaux de même masse et de rayon noté  $R'$ , considérés sphériques pour simplifier. On note  $\vec{v}_{L0}$  le vecteur vitesse de la Lune avant l'explosion.

Les vecteurs vitesse de chacun des morceaux immédiatement après l'explosion sont  $\vec{v}_{L0} + \Delta v$  et  $\vec{v}_{L0} - \Delta v$ , avec  $\Delta v$  un vecteur colinéaire à  $\vec{v}_{L0}$  et de même sens.

La figure ci-contre représente le système quelques instants après l'explosion qu'on considère ponctuelle et instantanée. On y a exagéré la distance entre les deux morceaux : on considérera pour simplifier qu'on peut confondre leurs positions initiales.



(a) Exprimer  $R'$  en fonction de  $R_L$  si la masse volumique est conservée au cours de l'explosion.

- (b) Déterminer les expressions de l'énergie mécanique de chacun des morceaux en fonction de  $m_L, m_T, \mathcal{G}, r_L, v_L$  et  $\Delta v$ , puis en fonction uniquement de  $m_L, v_L$  et  $\Delta v$ .
- (c) En déduire à quelle condition, portant sur  $\Delta v$ , l'orbite du morceau initialement animé du vecteur vitesse  $\vec{v}_{L0} - \Delta v$  peut atteindre la Terre, de rayon  $R_T$ . On exprimera la grandeur  $1 - \Delta v/v_L$  en fonction du quotient  $(R_T + R')/r_L$ . On note  $\Delta v_c$  la valeur critique correspondante. Calculer la valeur de  $\Delta v_c/v_L$  correspondante.

III.2. (a) Établir à quelle condition portant sur  $\Delta v$  le morceau initialement animé du vecteur vitesse  $\vec{v}_{L0} + \Delta v$  sera en état de diffusion.

(b) En déduire une condition portant sur le quotient  $(R_T + R_L)/r_L$  assurant que, si le morceau le plus lent tombe sur la Terre, le plus rapide se trouve en état de diffusion. Conclure.

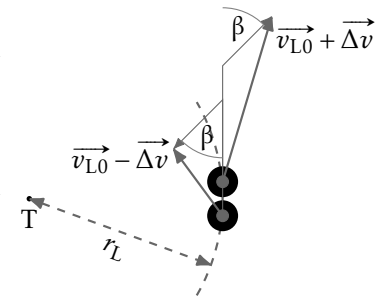
III.3. On considère dans cette question que les vecteurs vitesse des morceaux ne sont plus colinéaires à  $\vec{v}_{L0}$ , bien qu'ils demeurent dans le plan de l'orbite circulaire initiale de la Lune. On les caractérise par l'angle  $\beta$  défini sur la figure ci-contre.

(a) Justifier brièvement que les vecteurs vitesse par rapport au mouvement de la Lune avant la collision sont opposés comme illustré sur la figure ci-contre.

(b) Représenter qualitativement les trajectoires des deux morceaux pour  $\beta = 45^\circ$ . On précisera, en les justifiant sans calcul :

- la direction du grand axe,
- le signe de la différence entre le grand axe et  $2r_L$ .

(c) Pour quelle valeur de  $\beta$  est-il le plus probable qu'un des morceaux tombe sur la Terre à  $\Delta v$  fixé ?



### IV Collisions entre morceaux

Dans cette partie, on considère que  $\Delta v \ll \Delta v_c$ , les trajectoires sont donc peu différentes de l'orbite circulaire initiale de la Lune. On se place dans les conditions la question III.1 (angle  $\beta = 0$ ).

IV.1. (a) Établir les expressions des  $1/2$ -grand axes des orbites des deux morceaux, notés  $r_+$  et  $r_-$  avec  $r_+ > r_L > r_-$ .

(b) En déduire les expressions des périodes correspondantes des orbites, notées  $T_+$  et  $T_-$ .

IV.2. (a) Effectuer un développement limité au terme non nul d'ordre le plus bas en  $\Delta v/v_L$  des différences relatives  $(r_+ - r_L)/r_L$  et  $(r_- - r_L)/r_L$ .

- (b) Effectuer de même un développement limité au terme non nul d'ordre le plus bas en  $\Delta v/v_L$  des différences  $T_+ - T_L$  et  $T_- - T_L$ . On précisera leurs signes respectifs.

IV.3. (a) Représenter sur un schéma les deux orbites, ainsi que l'orbite circulaire de la Lune. On y fera figurer les positions des morceaux :

- à l'instant de l'explosion,
- au bout d'une durée  $T_L/2$ ,
- au bout d'une durée  $T$ .

(b) On envisage une collision ultérieure entre les deux morceaux. Dédire du schéma précédent que si le quotient  $\Delta v/v_L$  est suffisamment faible, les morceaux entreront en collision. Estimer numériquement cette valeur.

(c) Expliquer qualitativement comment cette collision peut, dans le cas d'une explosion en plus de deux morceaux, conduire à une chute de certains morceaux sur la Terre (dans le roman cette « pluie » de morceaux y rend la vie impossible par la chaleur qu'elle produit).

## Références

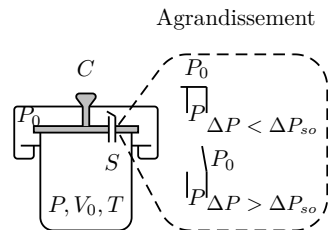
[1] Neal Stephenson. *Seveneves : A Novel*. William Morrow, 1st edition, 5 2015.

## Problème 2 : Étude d'un autocuiseur

Un autocuiseur est formé d'une enceinte indéformable cylindrique de révolution de volume  $V_0$  fermée par un couvercle  $C$  muni d'un étrier, et d'une soupape  $S$ . Il permet de cuire plus rapidement les aliments dans de la vapeur d'eau à une température supérieure à  $100^\circ\text{C}$ , sous une pression supérieure à la pression atmosphérique  $P_0$ .

L'étrier permet au couvercle de rester en place quand la pression  $P$  à l'intérieur est supérieure à la pression extérieure  $P_0$ . La soupape s'ouvre, permettant au gaz dans l'autocuiseur de s'échapper, dès que la surpression  $\Delta P = P - P_0$  dans l'autocuiseur est suffisamment élevée ( $\Delta P > \Delta P_{so}$ ) et reste fermée sinon ( $\Delta P < \Delta P_{so}$ ).

L'autocuiseur contient initialement une masse  $m_0$  d'eau liquide (de capacité thermique massique  $c_l$ ) à la température ambiante  $T_0$  et de l'air à la même température  $T_0$  et à la pression  $P_0$ . Dans toute la suite, on négligera le volume occupé par le liquide dans l'autocuiseur : **le volume de gaz dans l'autocuiseur sera**



**toujours**  $V_0$ . On considérera la vapeur comme un gaz parfait et l'eau liquide comme une phase condensée idéale.

L'autocuiseur est chauffé par un brûleur à gaz qui fournit à son contenu, pendant une durée  $dt$  le transfert thermique  $\delta Q_c = \mathcal{P}_c dt$ , avec  $\mathcal{P}_c$  la puissance thermique de chauffage. La capacité thermique de l'autocuiseur est caractérisée par sa « valeur en eau »  $ie$  la masse d'eau qui aurait la même capacité thermique.

On la note  $m_a$ .

On néglige le transfert thermique entre l'atmosphère et l'autocuiseur.

**Données :**  $V_0 = 14,0 \cdot 10^{-3} \text{ m}^3$ ;  $m_0 = 200 \text{ g}$ ;  $m_a = 500 \text{ g}$ ;  $m_1 = 150 \text{ g}$ ;  $P_0 = 1,013 \cdot 10^5 \text{ Pa}$ ,  $T_0 = 293 \text{ K}$ ; constante des gaz parfaits  $R = 8,314 \text{ J} \cdot \text{K}^{-1}$ ;  $c_l = 4,18 \cdot 10^3 \text{ J} \cdot \text{kg}^{-1} \cdot \text{K}^{-1}$ , masse molaire de l'eau  $M(\text{H}_2\text{O}) = 18 \text{ g} \cdot \text{mol}^{-1}$ ; rapport  $\gamma = \frac{C_{pma}}{C_{vma}} = 1,4$  pour l'air;  $\mathcal{P}_c = 2,0 \text{ kW}$ ; surpression d'ouverture de la soupape  $\Delta P_{so} = 0,7 P_0$ .

On donne l'expression des variations de l'entropie d'une mole d'un gaz parfait quand sa température et sa pression varient de  $T_i, P_i$  à  $T_f, P_f$  :

$$\Delta S_m = R \left( \frac{\gamma}{\gamma - 1} \ln \frac{T_f}{T_i} - \ln \frac{P_f}{P_i} \right).$$

1. Dans cette première question, on néglige la vaporisation de l'eau liquide<sup>iv</sup> : l'autocuiseur ne contient que la masse  $m_0$  d'eau liquide et de l'air. On s'intéresse à l'évolution de la pression et de la température avant que la soupape ne s'ouvre : la transformation est ici isochore.

- (a) Déterminer la quantité de matière d'air  $n_{a0}$  à la pression  $P_0$  et la température  $T_0$  dans l'autocuiseur de volume  $V_0$ , à l'instant  $t = 0$ .
- (b) Établir, par un bilan énergétique du contenu de l'autocuiseur, l'équation différentielle d'évolution de la température. En déduire l'expression de la température sous la forme :

$$T = T_0 (\alpha + \beta t),$$

avec  $\alpha$  et  $\beta$  des constantes qu'on exprimera en fonction de  $\mathcal{P}_c$ , de la capacité thermique molaire de l'air à volume constant  $C_{vma}$ , de  $m_0$ ,  $m_a$ ,  $n_{a0}$ ,  $c_l$  et  $T_0$ .

(c) En déduire l'expression de la pression  $P$  dans l'autocuiseur en fonction du temps et la date  $t_1$  où la soupape s'ouvre, pour  $\Delta P = \Delta P_{so}$ . Calculer la durée  $t_1$ .

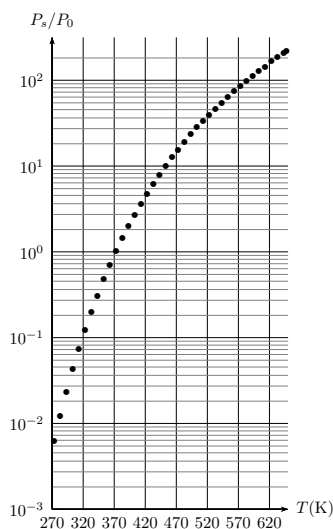
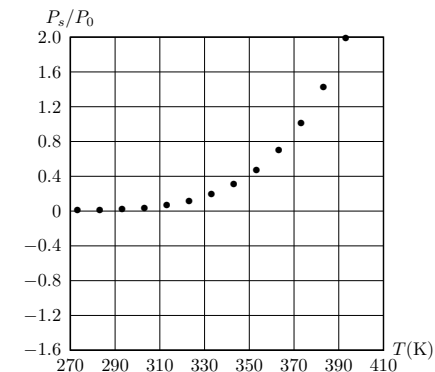
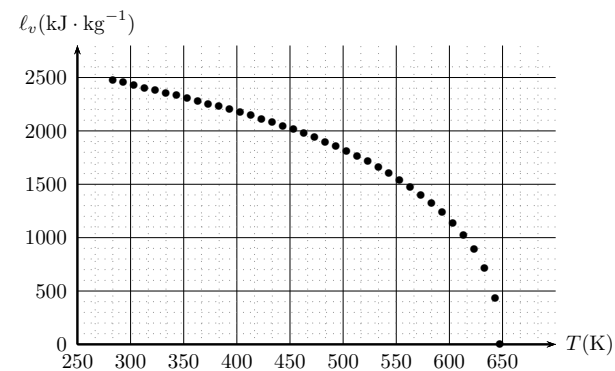
2. (a) Déterminer l'expression et calculer la valeur de la variation d'entropie de l'air entre les instants  $t = 0$  et  $t = t_1$ .

(b) On modélise le système de chauffage par un thermostat de température  $T_{ch} = 1,0 \cdot 10^3 \text{ K}$ . En déduire l'entropie créée au cours de cette transformation et calculer sa valeur. Commenter.

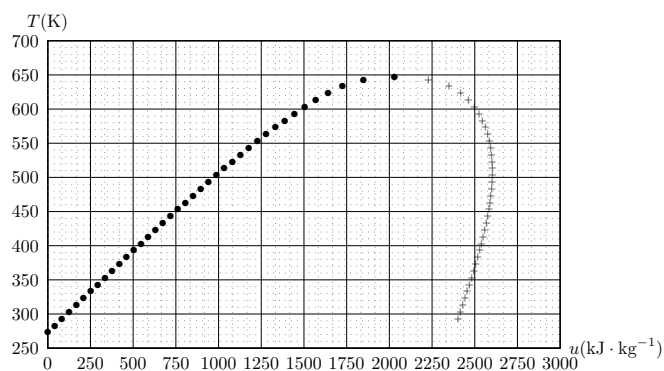
3. Après ouverture de la soupape, une partie de l'eau liquide se vaporise et chasse l'air. On considère dans cette question que tout l'air a été chassé. L'autocuiseur constitue alors un système ouvert, contenant de l'eau liquide et de la vapeur d'eau. En raison du faible poids de la soupape, on considère que le liquide et la vapeur d'eau dans l'autocuiseur sont en équilibre à la pression  $P = P_0 + \Delta P_{so}$ .

<sup>iv</sup>cette hypothèse, violemment illégitime sera corrigée ultérieurement.

- (a) La pression de vapeur saturante  $P_s(T)$  de l'eau est donnée en annexe. Déterminer la température  $T_{eq}$  en régime stationnaire quand la soupape est ouverte.
- (b) En déduire l'expression et la valeur de la masse  $m_{veq}$  de vapeur au dessus du liquide.
- (c) Déterminer, par un bilan enthalpique soigné, l'expression de la masse  $d_{eq}$  d'eau vaporisée par unité de temps en fonction de  $\mathcal{P}_c$  et de l'enthalpie massique de vaporisation  $\ell_v(T_{eq})$  (les variations de  $\ell_v$  avec  $T$  sont représentées en annexe).
- (d) Calculer  $d_{eq}$ . En déduire le débit de vapeur sortant de la soupape ainsi que le temps nécessaire pour diviser par deux la masse d'eau liquide dans ce régime.
4. À l'issue de la cuisson, on attend le retour de l'ensemble à la température  $T_0$ .
- (a) Quelle est alors la pression dans l'autocuiseur ? En déduire la force nécessaire pour soulever le couvercle du récipient une fois enlevé l'étrier. L'aire du couvercle est  $A = 7 \cdot 10^{-2} \text{ m}^2$  et sa masse est 300 g. Commenter.
- (b) Justifier qu'on enlève la soupape préalablement. Pourquoi est-ce plus facile ?
5. On considère maintenant le bouchage fortuit de la soupape alors que le système était encore à  $T_{eq}$  et que la masse d'eau liquide était  $m_1$ . On s'intéresse aux augmentations de pression et de température consécutives.
- (a) Calculer à cet instant le titre massique en vapeur  $x_v$ . Placer ce point ( $M_i$ ) sur la courbe représentant les énergies internes massiques en fonction de la température donnée en annexe.
- (b) Déterminer la température  $T_f$  quand la pression dans l'autocuiseur atteint  $P_f = 8P_0$ . En déduire le titre massique en vapeur du contenu de l'autocuiseur quand  $P_f = 8P_0$ . Placer le point correspondant ( $M_f$ ) sur la même courbe.
- (c) En déduire le temps nécessaire pour passer de  $P_i$  à  $P_f$ .
6. On revient dans cette question sur l'hypothèse de faible vaporisation de l'eau durant la première phase isochore.
- (a) Quelle est la température dans l'autocuiseur quand la soupape se soulève en supposant toujours que la pression de vapeur d'eau est négligeable. Déterminer la pression de vapeur saturante à cette température (on précisera sur la courbe le point correspondant). Commenter.
- (b) Montrer que si on prend en considération la vaporisation de l'eau, la soupape se soulève maintenant pour  $T_2$  telle que
- $$\frac{P_s(T_2)}{P_0} + \varepsilon \frac{T_2}{T_0} = C,$$
- avec  $\varepsilon$  et  $C$  des constantes qu'on exprimera en fonction de  $\Delta P_{s0}$  et  $P_0$ .
- (c) Déterminer graphiquement  $T_2$ . On utilisera la courbe avec l'échelle linéaire et on pourra considérer la distance entre  $\frac{P_s(T)}{P_0}$  et  $-\theta \frac{T}{T_0}$ .

Pression de vapeur saturante  $P_s(T)$  de l'eau (en unités de  $P_0 = 1 \text{ bar}$ ).Pression de vapeur saturante  $P_s(T)$  de l'eau (en unités de  $P_0 = 1 \text{ bar}$ ).

Enthalpie massique de vaporisation de l'eau.



Énergies internes massiques de l'eau liquide  $u_l$  (symbole  $\cdot$ ) et de la vapeur d'eau  $u_g$  (symbole  $+$ ) sur la courbe de saturation.

On a posé par convention l'énergie interne massique de l'eau liquide nulle à  $T = 273,15\text{K}$ .

### Problème 3 : Dosage de la vitamine C (d'après CCS TSI 2020)

Un anti-oxydant est un additif alimentaire permettant d'éviter l'oxydation des aliments, causes de changement de couleur, altération, rancissement.

La vitamine C (ou acide ascorbique) est utilisée comme anti-oxydant : en effet, on observe que l'application de quelques gouttes de jus d'orange empêche le brunissement d'une tranche de pomme laissée à l'air libre. On titre la vitamine C, de formule brute  $\text{C}_6\text{H}_8\text{O}_6$ , notée  $\text{AscH}_2$  dans le jus d'orange selon le protocole suivant :

**Étape 1** Presser une orange et filtrer le jus. Prélever un volume  $V_0 = 10,0\text{mL}$  de ce jus et les introduire dans un erlenmeyer de  $100\text{mL}$ .

**Étape 2** Verser un volume d'environ  $V_1 \approx 10\text{mL}$  d'acide phosphorique  $\text{H}_3\text{PO}_4$  à 10% dans l'erlenmeyer.

**Étape 3** Introduire dans l'erlenmeyer un volume  $V_2 = 20,0\text{mL}$  de solution de diiode  $\text{I}_2$  à  $C_{\text{I}_2} = 5,00 \cdot 10^{-3}\text{mol} \cdot \text{L}^{-1}$ . Le diiode  $\text{I}_2$  est placé **en large excès**. Agiter. Attendre environ 20 minutes.

**Étape 4** Titrer la solution avec une solution de thiosulfate de sodium à  $C_s = 1,00 \cdot 10^{-2}\text{mol} \cdot \text{L}^{-1}$ . Lors de la décoloration de la solution, le volume versé de solution titrante est  $V_e = 12,4\text{mL}$ .

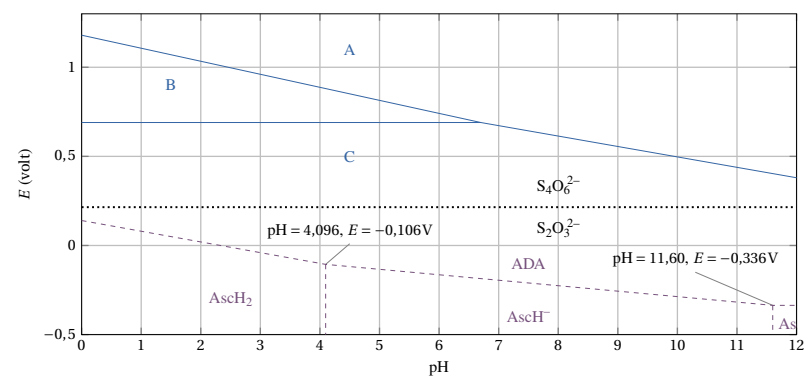


FIG. 2 : Diagrammes E-pH simplifiés de l'iode ( $5 \cdot 10^{-3}\text{mol} \cdot \text{L}^{-1}$ ), de la vitamine C ( $1 \cdot 10^{-2}\text{mol} \cdot \text{L}^{-1}$ ) et du couple  $\text{S}_4\text{O}_6^{2-}/\text{S}_2\text{O}_3^{2-}$  ( $1 \cdot 10^{-2}\text{mol} \cdot \text{L}^{-1}$ ).

### I Diagramme E-pH de l'iode et de la vitamine C

Le diagramme E-pH simplifié de l'élément iode I (trait continu) est donné à la figure 2. Il est tracé pour une concentration atomique en élément iode de  $5 \cdot 10^{-3}\text{mol} \cdot \text{L}^{-1}$ . Les espèces à considérer pour l'élément iode sont  $\text{IO}_3^-$ ,  $\text{I}_{2(\text{aq})}$  et  $\text{I}^-$ .

Sur la frontière entre deux espèces solubles, on choisit comme convention l'équirépartition de l'élément considéré.

Le diagramme de la vitamine C (trait interrompu) est superposé à celui de l'iode. La vitamine C est un diacide. Les espèces considérées pour ce diagramme sont  $\text{AscH}_2$  ( $\text{C}_6\text{H}_8\text{O}_6$ ),  $\text{AscH}^-$  ( $\text{C}_6\text{H}_7\text{O}_6^-$ ),  $\text{Asc}^{2-}$  ( $\text{C}_6\text{H}_6\text{O}_6^{2-}$ ) et l'acide déshydroascorbique de formule brute  $\text{C}_6\text{H}_6\text{O}_6$  noté ADA.

La frontière entre le couple  $\text{S}_4\text{O}_6^{2-}/\text{S}_2\text{O}_3^{2-}$  figure également (trait pointillé) sur ce même diagramme.

- I.1. L'élément iode, de numéro atomique  $Z = 53$ , est un halogène. Proposer des formules de Lewis pour  $\text{I}_2$  et pour  $\text{IO}_3^-$  en admettant que dans cette dernière molécule, l'élément iode est lié à 3 atomes d'oxygène. En déduire les nombres d'oxydation de l'atome d'iode dans  $\text{I}_2$ ,  $\text{I}^-$  et  $\text{IO}_3^-$ .
- I.2. Justifier que le domaine B correspond au diiode  $\text{I}_2$  et identifier les espèces chimiques correspondant aux domaines A et C.
- I.3. Déterminer, par le calcul, la pente de la frontière entre les domaines  $\text{IO}_3^-$  et  $\text{I}_{2(\text{aq})}$ .
- I.4. À l'aide du diagramme E-pH, déterminer la valeur du  $\text{p}K_a$  du couple  $\text{AscH}_2/\text{AscH}^-$ .
- I.5. Écrire la demi-équation redox faisant intervenir ADA ( $\text{C}_6\text{H}_6\text{O}_6$ ) et  $\text{AscH}_2$  ( $\text{C}_6\text{H}_8\text{O}_6$ ).

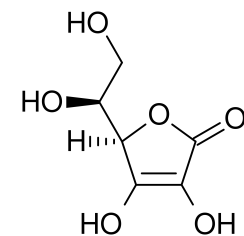
- I.6. À l'aide du diagramme E-pH, déterminer le potentiel standard du couple  $I_2/I^-$  et celui du couple ADA/AscH<sub>2</sub>.

## II Réaction entre I<sub>2</sub> et la vitamine C

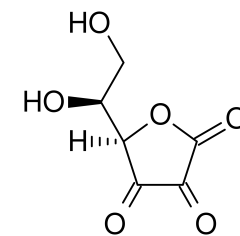
- II.1. À l'aide du diagramme E-pH de l'iode, expliquer pourquoi dans l'étape 2, on ajoute de l'acide phosphorique avant d'ajouter le diiode. Donner le type de réaction faisant intervenir le diiode I<sub>2</sub> placé en milieu basique. Écrire l'équation de cette réaction.
- II.2. Déterminer l'équation bilan de la réaction entre le diiode I<sub>2(aq)</sub> et la vitamine C à l'étape 3. Justifier en utilisant le diagramme E-pH qu'elle est quantitative. Déterminer l'expression de sa constante et calculer sa valeur.

## III Dosage par les ions thiosulfate S<sub>2</sub>O<sub>3</sub><sup>2-</sup>

- III.1. (a) En utilisant le diagramme E-pH, déterminer avec quelle espèce chimique contenant l'élément iode les ions thiosulfate S<sub>2</sub>O<sub>3</sub><sup>2-</sup> réagissent à l'étape 4 ? Écrire le bilan de la réaction correspondante et donner l'expression de sa constante en fonction des potentiels standard pertinents (on ne cherchera pas à calculer sa valeur). On supposera que cette réaction est **suffisamment rapide pour être utilisée en dosage**.
- III.2. (a) Déterminer la valeur de la quantité de matière  $n_{I_2,0}$  de diiode I<sub>2</sub> introduit dans l'erlenmeyer ainsi que celle de la quantité de matière de diiode  $n_{2,e}$  de diiode qui a réagi lors du titrage. Quelle est l'espèce colorée dont on observe la disparition lors du dosage ?
- (b) En déduire la concentration molaire puis massique de AscH<sub>2</sub> dans le jus d'orange. On utilisera les valeurs bien connues des masses molaires nécessaires.
- III.3. (a) Que peut-on conclure de la consigne « Attendre environ 20 minutes » à l'étape 3 ? Justifier qu'on aurait pu réaliser par colorimétrie un dosage direct de AscH<sub>2</sub> par I<sub>2(aq)</sub>. Quel défaut expérimental aurait-il cependant présenté ?
- (b) Justifier le rôle d'antioxydant de la vitamine C.
- (c) Les structures de Lewis de ADA et AscH<sub>2</sub> sont données dans la figure 3. Justifier le nombre d'électrons échangés dans la demi-équation électronique les faisant intervenir en précisant les atomes qui voient leur nombre d'oxydation changer.



(a) Acide ascorbique AscH<sub>2</sub>.



(b) . Acide déshydroascorbique ADA.

FIG. 3 : Structures de l'acide ascorbique (vitamine C) et de l'acide déshydroascorbique